

徳島大学工学部	正員	荒木謙一
和歌山工業高等専門学校	同	戸川一夫
徳島県庁土木部	同	藤江義郎
徳島大学大学院	学生	○佐藤哲

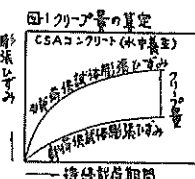
1. まえがき

近年我国でも、カルシウムサルファルミニネート系の膨張材(CSA)が市販されその使用目的の一つに、膨張材を混入したコンクリート(以下 CSAコンクリートといふ)の膨張拘束にて、コンクリートにアレストレスを与えるいわゆるケミカルアレストレスの導入がある。ケミカルアレストレスの利用が期待されるコンクリート構造物にはたゞえ、膨張量および導入されたアレストレスの管理が比較的容易である各種フレキマスト製品あるいは微少アレストレスでも十分な効果が期待される道路舗装版、水密性を要する屋根スラブなどの現場打ちコンクリートなどと考えられる。この場合、導入されたアレストレス量を正確に算定することができるかが問題となる。

本研究は昨年、提案したケミカルアレストレスコンクリート理論式の妥当性と CSA の添加量および鉄筋による拘束量を変化させて再検討し、CSAコンクリートをケミカルアレストレスコンクリートとして利用する場合の最適 CSA 添加量ならびに導入可能なアレストレス量を考察したものである。

2. 実験概要

セメントは普通ポルトランドセメントを用いた。粗骨材は最大寸法20mmの碎石(徳島県大麻産硬質砂岩、比重2.60)を、細骨材は川砂(吉野川砂比重2.60)を使用した。膨張材は CSA(電気化学工業製)を使用し、AE減水剤としてはボリス No.5 LA を用いた。コンクリートの配合はスラブ厚2.5cm、W/C=40%、セメント量(セメント+CSA)は380kg/m³、水は38%とし、CSA量はセメント重量の内割りとし、11%、13%、15%および17%の4種類とした。クリープ供試体、自由膨張供試体ならびに拘束膨張供試体は10×10×40cmの角柱供試体とした。クリープ供試体と拘束膨張供試体は型枠端板(内径拘束端板)による中心部にあらかじめφ20mmあたかもφ19mmの硬質ゴム筋を配置し、その中にφ18mmあるいはφ12mm(鉄筋比はそれをP=2.43%, 1.00%)のPC鋼棒を挿入してコンクリートを打ち込んだ。また圧縮強度、弹性係数測定用供試体はφ10×20cmの円柱供試体を3個とり、供試体を成形すると同時に中心部にφ12mmの中空真ちから筋をセットしてコンクリートを打設し、脱型後φ11mmのPC鋼棒(P=1.0%)を挿入した。各供試体は材令1日で脱型し、拘束する供試の場合はPC鋼棒をアレストレスのかからぬ程度にナットでしつけ膨張を拘束し水中養生(20°C±2deg)を開始した。クリープ供試体は材令1日でそのときのコンクリートの圧縮強度がやく30%の応力をオイルシカッキを用いて載荷した。自由膨張および拘束膨張供試体の膨張量とクリープ供試体の変形量は、材令1日を基長として材令1, 3, 5, 7, 9, 11, 14, 24および28日でコンバレーターを用いて測定した。クリープ量は自由膨張量と一定持続荷重載荷供試体の変形量との差から求めた。(図-1参照)



3. 実験結果の検討と考察

i) 膨張特性

一般に CSA コンクリートの自由膨張量及び拘束膨張量は、水中養生期間 7 日程度まで急激に増加するが、それ以後の膨張はきわめて少なくなむ。(図 8 ~ 11 参照) 図 2 は水中養生した CSA コンクリートの自由膨張量(水中養生期間 7 日)を示す。本実験の場合と門司の報告によらざるよう、膨張材の単位量(コンクリート 1 m³ に対する CSA 添加量)と自由膨張量との間に相関性があつたがゆえ、膨張材量の増大とともに自由膨張量も増加している。したがて今後は CSA コンクリートの膨張量はセメントに対する添加率よりもコンクリートに対する CSA 単位量によって推定する方が合理的であるといえよう。なお本実験と門司の報告とを比較すると、同一単位量に対して膨張量が異なっているが、これは使用した膨張材の種類、膨張ひずみの測定方法などが異なるからである。

また、CSA コンクリートの自由膨張量と拘束膨張量との比を図-3 に示す。自由膨張量に対する拘束膨張量の発現比率は、CSA 添加率ならびに拘束鉄筋比が大きくなるにつれて小さくなると思われる。

ii) 強度および弾性特性

水中養生した材令の CSA コンクリートの一軸拘束圧縮強度と材令との関係を図-4 に示す。各種コンクリートの拘束圧縮強度は材令とともに増加する。CSA コンクリートの拘束圧縮強度は CSA 添加率 15% までは普通コンクリートにくらべて、あまり低下しないと考えてもよいようである。静弾性係数と材令との関係と図-5 に示すが、CSA コンクリートは普通コンクリートよりも若干弾性係数は小さいようである。そして CSA 添加率の増大とともに弾性係数は低下し、CSA 添加率 15% で拘束 CSA コンクリートの弾性係数は普通コンクリートの弾性係数にくらべて 15% 程度低下している。これは膨張成分のエトリシジマイトの強度剛性がよむいためであろうと思われる。

iii) 截荷時材令 1 日のクリープ特性

水中養生あるいは空中養生した CSA コンクリートと普通コンクリートとを比較するためこれら 2 種のクリープひずみと截荷期間との関係を図-6 に示す。クリープひずみは CSA 添加率が高くなるにつれて大きい値

図 2 膨張アシストコンクリートの自由膨張量
と CSA 添加量との関係

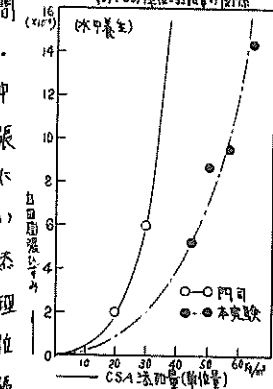


図 3 CSA コンクリートの自由膨張量に対する拘束膨張量の比

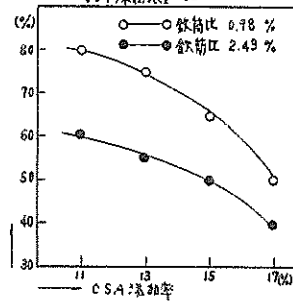


図 4 材令と拘束圧縮強度との関係

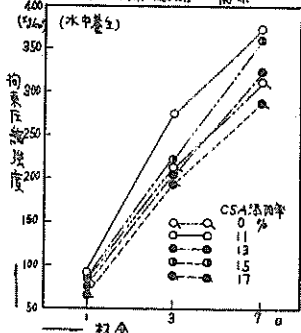


図 5 材令と静弾性係数との関係

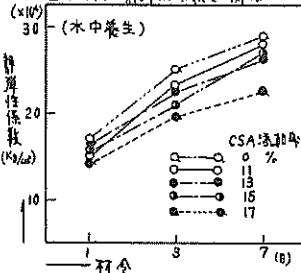
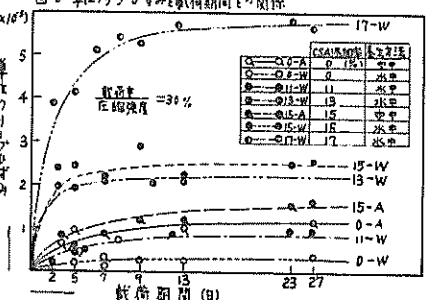


図 6 単位クリープひずみと載荷期間との関係



を示す。CSA添加率17%のコニクリートは15%以下のコニクリートと比べて極端に大きなクリープひずみを示す。これは17%のコニクリートの自由膨張量が非常に大きく、コニクリートがボーラスになり、膨張に遊びができるほどひずみ回復性シエラニ作用が大なることと帰因していると考えられる。また普通コニクリートのクリープは水中養生したものと空中養生したものより小さいが、逆にCSAコニクリート(添加率15%)では

水中養生の場合と空中養生したものより大きくなっている。この現象は、CSAコニクリートは水中養生中にエトリンジャイトの生成が活発なためであると思われる。図-7に水中養生14日材令1日戻荷のCSAコニクリートの推定最終クリープ係数を示す。これによればCSA添加率の増加につれて推定最終クリープ係数は増加し、図-2に示されている結果を裏づけているようである。

iv) ケミカルプレストレスの理論値と実測値の比較

CSAコニクリートの拘束膨張量はCSAコニクリートの自由膨張量からクリープ変形と弾性変形との差(引ひて求めることができる)と考へている。以下に(1)当筋対応で提案したケミカルプレストレス算定に関する理論式を示す。

$$P_{th} = \{ \delta_m - (K_1 + \dots + K_n) + \frac{P_{ext}}{E_{cm} A_c} \} \div \left\{ \frac{1}{A_s E_s} \cdot \frac{1}{A_c E_{cm}} \right\} \quad (1)$$

ここで P_{th} : t_h 時間に導入されたケミカルプレストレス量(K_g)

P_{th} : t_h 時間に導入されたケミカルプレストレス量(K_g)

δ_m : t_h 時の自由膨張ひずみ

K_i : t_h 時に生じる拘束変形量($i=1, 2, \dots, n$)

E_{cm} : t_h 時のコニクリートの弾性係数(K_g/cm^2)

E_s : PC鋼棒の弾性係数(K_g/cm^2)

A_c : コニクリートの断面積(cm^2)

A_s : PC鋼棒の断面積(cm^2)

つぎに六重の提案式を示す。

$$\delta_{pt}/\delta_t = 1 / \{ 1 + (1 + g/2) n P \} \quad (2)$$

ここで δ_{pt} : CSAコニクリートの拘束膨張量

δ_t : CSAコニクリートの自由膨張量

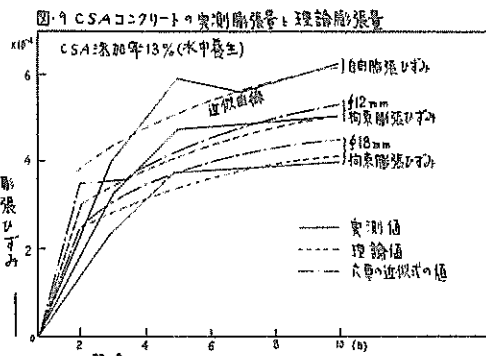
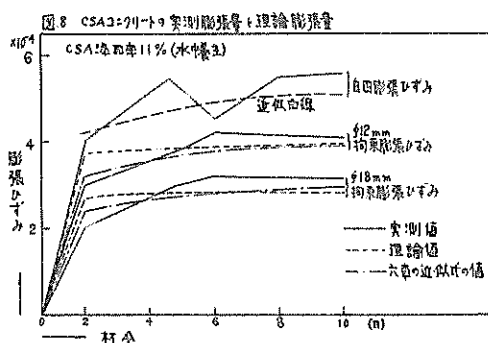
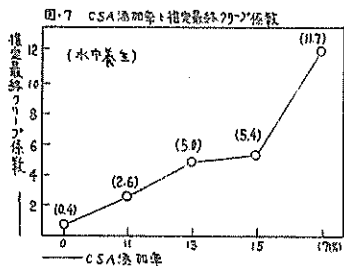
n : E_s/E_c

E_s : PC鋼棒の弾性係数(K_g/cm^2)

E_c : コニクリートの弾性係数(K_g/cm^2)

P : 鉄筋比

図-8～11にCSAコニクリートの拘束膨張量の理論的推定値と実測値とを示す。CSA添加率11～17%の場合、本理論値ならびに六重の値はほぼ実測値と一致している。なお水中養生材令7日(打込時から



は材令8日でのケミカルプレストレス量とCSA添加率との関係を図-12に示す。また表-1に各種コンクリートを材令14日で空中養生を開始した場合、コンクリートのクリープ、乾燥収縮ならびにPC鋼棒のリラクゼーション(これは3%と仮定している)により減少するプレストレス量を差引いたCSAコンクリートの最終推定プレストレス量を示す。なおPC鋼棒の引張応力度の減少は次式により算定した。

$$\Delta \sigma = (\gamma_0 E_{sp} + E_s E_s) / \{1 + NP(1 + \gamma/2)\} \quad (3)$$

ここで $\Delta \sigma$: PC鋼棒の引張応力減少量 (Kg/cm^2)

$$N: E_s / E_c$$

$$\gamma: 最終クリープ係数$$

$$E_{sp}: 最初にコンクリートにかかるているクリープ$$

$$- レストレス (Kg/cm^2)$$

$$E_s: 最終乾燥収縮ひずみ、本実験の場合$$

$$4.1 \times 10^{-4} - 定とみなす。$$

上記の結果より、ケミカルプレストレス量の増大にはCSA添加量と拘束量の増大が有効であるがCSA添加によるコンクリートの強度低下を考え合わせると、強度低下のあまりみられないCSA添加率15%がケミカルプレストレストコンクリートに対する最適なCSA添加率であるといえよう。なお本実験ではCSA添加率15%、拘束鉄筋比2.43%のもと最終ケミカルプレストレインは14Kg/cm程度を期待できる。

4.まとめ

本実験結果を要約するとつきのようになると考える

- (1) CSAコンクリートのケミカルプレストレインはCSAコンクリートの自由膨張、クリープおよび弾性係数を正確にみつめれば本理論式あるいは大車の式によって算定できる。
- (2) ケミカルプレストレインはCSA添加率15%内外であり、拘束量が大きいほどプレストレインは大きくなる。
- (3) CSA添加率15%のCSAコンクリートのケミカルプレストレインは拘束鉄筋比2.43%で14Kg/cm程度でありプレストレインの比較的小なくてよいPC鋼棒への今後の利用が期待される。

5.参考文献

- 1) 門司唱「高張材を使用したコンクリートの配合設計に関する研究」セメント技術年報 昭和46 XXV PP 200~203
- 2) 大車照「ケミカルプレストレッシングについての一考察」電気化学会報 昭和40

図-10 CSAコンクリートの実測膨張量と理論膨張量

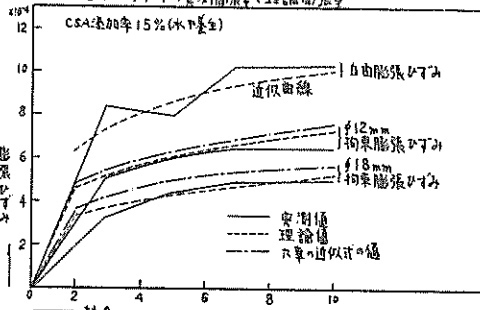


図-11 CSAコンクリートの実測膨張量と理論膨張量

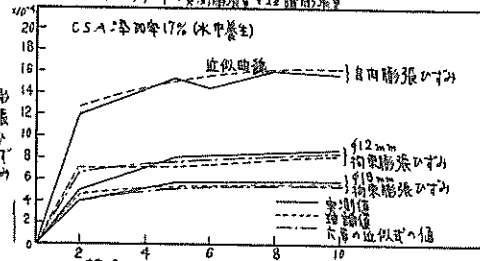


表-1 最終クリープひずみからプレストレス量の実測値などを推定

拘束 鉄筋 比	各拘束条件におけるクリープひずみと拘束条件による拘束効率					
	拘束無し	拘束鉄筋比0.6%	拘束鉄筋比1.3%	拘束鉄筋比2.0%	拘束鉄筋比2.6%	拘束鉄筋比3.3%
6.5%	0.12%	2.42%	19.2%	32.4%	21.8%	24.3%
11%	8.37	15.80	17.77	18.85	7.53	14.47
13%	9.77	19.50	19.94	18.48	5.52	16.01
15%	13.03	24.51	13.84	26.54	19.73	21.21
17%	16.83	27.67	15.51	25.97	16.23	25.31

図-12 T3カルブレ入射入量の実測値と理論値との比較

